

## مدل‌سازی ارتباط کاربری - پوشش اراضی و حرارت سطح زمین، با استفاده از داده‌های سنجنده ASTER

\*پیمان ملک‌پور<sup>۱</sup>، محمد طالعی<sup>۲</sup>

۱- دانشجوی کارشناسی ارشد فتوگرامتری، دانشکده مهندسی نقشه برداری، دانشگاه صنعتی خواجه نصیرالدین طوسی

payman.malekpour@gmail.com

۲- استادیار، دانشکده مهندسی نقشه برداری، دانشگاه صنعتی خواجه نصیرالدین طوسی

تاریخ دریافت: ۸۹/۳/۳۱ تاریخ پذیرش: ۸۹/۱۰/۱۱

### چکیده

از آنجاکه رشد مناطق شهری یک عامل تأثیرگذار در پدیده گرم شدن جهانی است، آگاهی از تغییرات زمانی - مکانی درجه حرارت سطح زمین برای انجام مطالعات علوم زمین از قبیل تغییرات آب و هوای شهری، ضروری است. در این تحقیق، ارتباط آثار تغییرات انواع پوشش - کاربری زمین و تراکم پوشش گیاهی، ناشی از توسعه شهری، بر روی درجه حرارت سطح در تهران بررسی و تجزیه و تحلیل شد. برای این هدف، با استفاده از داده‌های ماهواره‌ای چند زمانه سنجنده ASTER، طبقه‌بندی پوشش-کاربری زمین با استفاده از روش بیشترین شباهت بر روی مؤلفه‌های MNF صورت گرفت، مقادیر گسیل‌مندی و درجه حرارت سطح زمین با استفاده از روش TES بر روی داده‌های ماهواره‌ای تخمین زده شد و مقادیر تراکم پوشش گیاهی از طریق شاخص‌های NDVI و FVC به‌دست آمد. نتایج تحقیق نشان داد که طبقه‌بندی با مؤلفه‌های MNF دقت بیشتری در مقایسه با طبقه‌بندی از طریق باندهای اصلی دارد و نوع پوشش - کاربری زمین دارای تأثیر زیادی بر رژیم‌های درجه حرارت سطح زمین است. وابستگی شدید بین درجه حرارت سطح و مقادیر NDVI برای کلاس‌های مناطق ساختمانی کم تراکم، پوشش گیاهی تنک و زمین کشاورزی کشت شده، مشاهده شد و ارتباط درجه حرارت سطح زمین با مقادیر FVC نیز مؤید این مطلب است. تجزیه و تحلیل رگرسیون صورت گرفته بین مشخصه‌های NDVI و FVC و درجه حرارت سطح نشان می‌دهد که در صورت تعیین مقادیر NDVI و FVC، درجه حرارت سطح زمین و به تبع آن تغییرات و رشد توسعه شهری را می‌توان برآورد کرد.

### کلید واژه

درجه حرارت سطح زمین، پوشش - کاربری زمین، TES، تجزیه و تحلیل اختلاط طیفی، FVC

### سرآغاز

پوشش گیاهی در شهرهای بزرگ است (Mather, 1986). اندازه‌گیری درجه حرارت سطح زمین، در ارتباط با خصوصیات فیزیکی سطح زمین که نقش بسزایی در فرایندهای محیط زیستی بازی می‌کنند، می‌تواند اطلاعات مفیدی را فراهم کند (Dousset & Gourmelon, 2003; Weng & Schubring, 2004). مطالعات متعددی در زمینه تخمین گرمای نسبی شهرها با استفاده از اندازه‌گیری درجه حرارت هوا، بر پایه مشاهدات ایستگاههای زمینی، صورت گرفته است (Gallo, 1996). در برخی از مطالعات، اندازه‌گیری‌های درجه حرارت به‌دست آمده از سنجنده‌های مستقر بر روی وسایل نقلیه، مورد استفاده قرار گرفته است. این روش هم پژوهی‌نامه و هم زمان‌بر بوده و در درون یابی مکانی<sup>۳</sup> تعیین درجه

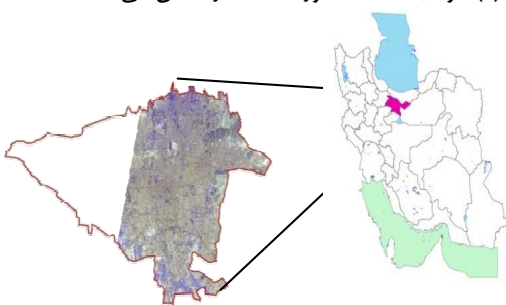
افزایش رشد جمعیت (افزایش طبیعی و مهاجرت) و رشد سریع صنعتی یکی از دلایل اصلی تغییرات آب و هوایی در جهان است. امروزه مهم‌ترین مشکل در مناطق شهری، افزایش درجه حرارت سطح زمین به‌دلیل دگرگونی‌های به وجود آمده در سطوح طبیعی است، که در اثر آن پوشش گیاهی طبیعی حذف شده و با سطوح غیرقابل نفوذ<sup>۱</sup>، از جمله سنگ، آسفالت، سیمان و ... جایگزین شده است. اختلاف درجه حرارت بین مناطق شهری و غیرشهری که حاصل از عوامل فوق است پدیده<sup>۲</sup> UHI نامیده می‌شود (UHI در نتیجه ساختمان‌سازی و گسترش شهر، Mather, 1986). ایجاد مناطق صنعتی و افزایش ساختمان و در نتیجه کاهش میزان

مطالعات، داده‌های گسیل‌مندی که از اندازه‌گیری‌های آزمایشگاهی به دست آمده‌اند استفاده می‌شوند که نشان‌دهنده مقدار گسیل‌مندی در مقیاس پیکسلی ماهواره‌نیستند (Salisbury & D'Aria, 1992). از این رو، مشخصه گسیل‌مندی به ازای هر پیکسل می‌باید به طور مستقیم از داده‌های ماهواره‌ای تعیین شود تا این که به تخمینی دقیق و قبل قبول برای درجه حرارت سطح زمین رسید. تحقیق حاضر، نقش توسعه پوشش گیاهی را در کاهش دمای سطح شهر بررسی و ارتباط بین میزان تراکم پوشش گیاهی و درجه حرارت سطح زمین را برای انواع پوشش - کاربری زمین برای سالهای مختلف مورد ارزیابی قرار می‌دهد. در این مطالعه، از روش<sup>۱</sup> TES برای تعیین گسیل‌مندی و تخمین درجه حرارت سطح زمین استفاده شده است. این تحقیق، تغییرات مکانی درجه حرارت سطح زمین را بر اساس انواع پوشش - کاربری زمین بررسی می‌کند. علاوه بر این، ارتباط بین تراکم پوشش گیاهی (NDVI<sup>۲</sup>) و FVC<sup>۳</sup> با درجه حرارت سطح زمین برای انواع پوشش - کاربری زمین در نواحی مختلف تهران نیز ارزیابی و تجزیه و تحلیل و مدل رگرسیونی به منظور پیش‌بینی درجه حرارت سطح زمین با استفاده از مقادیر NDVI و FVC از قبل تعیین شده، ارایه شده است.

## مواد و روشها

### منطقه مورد مطالعه

تهران بزرگ‌ترین شهر و پایتخت ایران با جمعیت حدود ۷ میلیون نفر و مساحت ۷۳۰ کیلومتر مربع است که به همراه توابع خود (سایر شهرستان‌های استان تهران)، جمعیتی در حدود ۱۳ میلیون نفر و مساحتی برابر ۱۸,۸۱۴ کیلومتر مربع دارد (مرکز آمار ایران، ۱۳۸۶). تهران، یک شهر مدرن، در حال توسعه و رشد سریع، با ترکیبی از انواع پوشش - کاربری زیستی است که در معرض خطرهای ناشی از افزایش درجه حرارت سطح زمین و گرمایش جهانی قرار دارد. شکل شماره (۱) موقعیت منطقه مورد مطالعه را نشان می‌دهد.



شکل شماره (۱): موقعیت منطقه مورد مطالعه و پوشش  
داده مورد استفاده

حرارت، با مشکلاتی همراه است (Yamashita, 1996). فاواری سنجش دور می‌تواند به عنوان راهکاری جدید در بهبود روش‌های سابق‌الذکر مطرح شود. مزایای استفاده از داده‌های سنجش از دور، قدرت تفکیک مکانی مناسب، داده‌های پایدار و دارای همپوشانی و توانایی اندازه‌گیری مشخصه‌های سطح زمین است (Carlson & Gillies 1998 Owen, 2000). امروزه سنجش از دور نقش مهمی در تخمین مشخصه‌های فیزیکی مرتبط با مطالعات حرارتی شهری دارد. تصمیم‌گیری برای انتخاب داده‌های حرارتی و نوع سنجنده در مطالعات محیط زیست مرحله مهمی محسوب می‌شود. تعداد مختلفی از سنجنده‌های حرارتی وجود دارند که می‌توانند در مطالعات محیط‌های شهری مورد استفاده قرار گیرند. از جمله سنجنده NOAA با قدرت تفکیک مکانی باند حرارتی ۴ کیلومتر، MODIS<sup>۴</sup> با قدرت تفکیک مکانی باند حرارتی ۱ کیلومتر که جزء سنجنده‌های با قدرت تفکیک مکانی باند حرارتی ۱ پایین محسوب می‌شوند (ملک پور، ۱۳۸۸). در صورتی که سنجنده‌های با قدرت تفکیک مکانی باند حرارتی متوسط از جمله ASTER<sup>۵</sup> و ETM<sup>۶</sup> به ترتیب دارای قدرت تفکیک باند حرارتی ۹۰ و ۶۰ متر، هستند. در سال ۲۰۰۴ Pierangelo از تأثیر عده اتسافر بر جذب، پراکنش و پخش رادیانس ساطع شده از سطح را ارزیابی کرد. در سال ۱۹۹۴ France & Cracknell<sup>۷</sup> ارزیابی مناسبی بر روی آثار هواویزها<sup>۸</sup> بر رادیانس و درجه حرارت‌های سطح دریا و زمین، انجام دادند. Rajasekar و همکاران در سال ۲۰۰۹، روشی را برای تعیین میزان گسترش UHI در شهر Indianapolis با استفاده از تصاویر لندست ۵ و ۷ از طریق تحلیل‌های زمانی - مکانی، مورد ارزیابی قرار دادند.

نتایج نشان داد که میزان پخش UHI در شهر از سال ۱۹۸۵ تا ۲۰۰۰ از ۱۳/۹۰ کیلومتر به ۲۱/۶۳ کیلومتر در جهت غرب-شرق و از ۱۰/۹۸ کیلومتر به ۱۵/۹۰ کیلومتر در جهت شمال-جنوب افزایش پیدا کرده است (Rajasekar & Weng, 2009). درجه حرارت سطح زمین به میزان پوشش گیاهی و رطوبت خاک حساس بوده، از این رو می‌تواند در شناسایی تغییرات پوشش - کاربری زمین و گسترش شهر، مورد استفاده قرار گیرد. مطالعات گوناگونی طی سالهای اخیر برای بررسی درجه حرارت سطح زمین با استفاده از Weng, Lu & Schubring, 2004 فراوانی پوشش گیاهی صورت پذیرفته است. برخی از تعیین مقدار گسیل‌مندی سطح مهم و ضروری است. در برخی از

درجات روشنایی ( $DN$ ) ثبت شده از یک پیکسل معین که در سالهای مختلف، تحت تأثیر زاویه دید، زاویه خورشید و شرایط اتمسفری بوجود می‌آید، رفع شود. برای این منظور ابتدا مقادیر درجات روشنایی با استفاده از فرمول زیر به تابش دریافت شده در سنجنده تبدیل شدنند (Wubet, 2003).

$$L_\lambda = (DN - 1) \times UCC \quad (1)$$

که در آن،  $\lambda$ : رادیانس طیفی دریافت شده توسط سنجنده ضریب تبدیل واحد استفاده شده برای باندها و وضعیت  $UCC$  ( $W/(m^2 sr \mu m)$ ) و ضریب تبدیل واحد است. ضریب تبدیل واحد استفاده شده برای باندها و وضعیت Gain های مختلف سنجنده ASTER در جدول شماره (۱) نشان داده شده است. در مرحله بعد، مطابق با رابطه ۲، مقدار رادیانس طیفی به بازنگینی طیفی تبدیل می‌شود (Richards, 1993).

$$\rho = \frac{L_\lambda \cdot \pi}{ESUN_\lambda \cdot \cos \theta_z \cdot d_r} \quad (2)$$

به طوری که  $d_r$  مسافت نسبی زمین تا خورشید،  $\theta_z$  زاویه زیست خورشیدی (درجه) و ESUN میانگین تابش فروودی خورشید در بالای جو در هر باند است (جدول شماره ۱).

### تهیه و آماده سازی داده‌ها

جزیيات مربوط به داده‌های مورد استفاده به شرح زیر است: تصاویر سنجنده ASTER، اخذ شده در تاریخ‌های ۲۶ ژوئن ۲۰۰۱، ۵ ژوئن ۲۰۰۵ و ۴ سپتامبر ۲۰۰۹، با پوشش ابر صفر درصد و path/row=164/35 و پوشش ۷۰ درصدی از تهران (شکل شماره ۱). نقشه پوششی ۱:۲۵۰۰۰ تهران، داده‌های آماری سینوپتیکی و هواشناسی ایستگاههای هواشناسی تهران، نرم افزار Envi 4.3 برای انجام پردازش‌های تصویری ILWIS 3.3 برای اجرا کردن الگوریتم‌ها، IDRISI و ArcGIS برای انجام تجزیه و تحلیل‌های تصویری و SPSS برای تحلیل آماری و انجام تجزیه و تحلیل رگرسیون.

### تصحیح هندسی و رادیومتریک تصاویر ماهواره‌ای

تمامی تصاویر با استفاده از نقشه‌های پوششی ۱:۲۵۰۰۰ تهران در سیستم مختصات WGS84 و سیستم تصویر UTM زون ۳۹ شمالی، با خطای هندسی ۰/۴۵ پیکسل (RMSE=0/45) ژئوفرنس شدن. با توجه به اختلاف زمانی و زاویه ارتفاعی اخذ تصاویر، نیاز است که تصحیحات رادیومتریک و اتمسفری بر روی تصاویر صورت پذیرد. بنابراین می‌باید خطاهای ایجاد شده در مقادیر

جدول شماره (۱): مقادیر ماکریم تابش در هر باند و ضرایب تبدیل واحد و ESUN برای سنجنده ASTER

Band No.	High Gain		Normal Gain		Low Gain 1		Low Gain 2		ESUN ( $Wm^{-2} \mu m^{-1}$ )
	Maximum radiance	Coefficient							
۱	۱۷۰/۸	.۰/۶۷۶	۴۲۷	۱/۶۸۸	۵۶۹	۲/۲۵			۱۸۴۶
۲	۱۷۹	.۰/۷۰۸	۳۵۸	۱/۴۱۵	۴۷۷	۱/۸۹			۱۵۵۵
۳N	۱۰۶/۸	.۰/۴۲۳	۲۱۸	۰/۸۶۲	۲۹۰	۱/۱۵			۱۱۲۰
۳B	۱۰۶/۸	.۰/۴۲۳	۲۱۸	۰/۸۶۲	۲۹۰	۱/۱۵			
۴	۲۷/۵	.۰/۱۰۸۷	۵۵	.۰/۲۱۷۴	۷۳/۴	.۰/۲۹۰	۷۳/۴	.۰/۲۹۰	۲۳۱
۵	۸/۸	.۰/۰۳۴۸	۱۷/۶	.۰/۰۶۹۶	۲۲/۴	.۰/۰۹۲۵	۱۰۲/۵	.۰/۴۰۹	۷۹
۶	۷/۹	.۰/۰۳۱۳	۱۵/۸	.۰/۰۶۲۵	۲۱	.۰/۰۸۳۰	۹۷/۷	.۰/۳۹۰	۷۴/۴
۷	۷/۵۵	.۰/۰۲۹۹	۱۵/۱	.۰/۰۵۹۷	۲۰/۱	.۰/۰۷۹۵	۸۳/۸	.۰/۳۳۲	۷۰/۵
۸	۵/۲۷	.۰/۰۲۰۹	۱۰/۵۵	.۰/۰۴۱۷	۱۴/۰۶	.۰/۰۵۵۶	۶۲	.۰/۲۴۵	۵۹/۶
۹	۴/۰۲	.۰/۰۱۵۹	۸/۰۴	.۰/۰۳۱۸	۱۰/۷۲	.۰/۰۴۲۴	۶۷	.۰/۲۶۵	۵۶/۳
۱۰			۲۸/۱۷	.۰/۰۰۶۸۲					
۱۱			۲۷/۷۵	.۰/۰۰۶۷۸۰					
۱۲	-	-	۲۶/۹۷	.۰/۰۰۶۵۹۰	-	-	-	-	
۱۳			۲۳/۳	.۰/۰۰۵۶۹۳					
۱۴			۲۱/۳۸	.۰/۰۰۵۲۲۵					

(منبع: Abrams, et al., 2002)

هوایی بر روی تصاویر کاهش می‌یابد و نتیجه حاصل نسبتاً استاندارد شده و می‌تواند به طور مستقیم برای مقایسه بازنگینی پذیرده‌ها بین

با تبدیل مقادیر رادیانس طیفی به بازنگینی طیفی، آثار مربوط به تغییر شرایط نوردهی، فصل، عرض جغرافیایی و شرایط آب و

مناطق ساختمانی متراکم، مناطق ساختمانی کم تراکم، پوشش گیاهی متراکم (پارک جنگلی)، پوشش گیاهی کم تراکم (پارک)، پوشش گیاهی تنک (چمنزار و فضای سبز، پوشش سبز حاشیه خیابان‌ها)، آب، زمین کشاورزی کشت شده، زمین بایر و زمین کشاورزی کشت نشده (شکل شماره<sup>(۳)</sup>).

برای سنجش میزان دقت طبقه‌بندی تصاویر و انتخاب مناطق آموزشی<sup>(۱۸)</sup>، نقشهٔ پوشش - کاربری تهران با مقیاس ۱:۲۵۰۰۰ استفاده شد. پس از انتخاب مناطق آموزشی برای کلاس‌های مختلف به طریق بصری و بر اساس لایه‌بندی صورت گرفته در نقشه‌ها، با استفاده از الگوریتم طبقه‌بندی نظارت شده بیشترین شباهت<sup>(۱۹)</sup> و تصاویر طبقه‌بندی شده پوشش - کاربری زمین حاصل شد. به منظور افزایش دقت طبقه‌بندی از مؤلفه‌های MNF<sup>(۲۰)</sup> استفاده شده است. تبدیل MNF برای کاهش افزاونی داده و وابستگی بین باندهای طیفی تصویر ماهواره‌ای استفاده می‌شود. در طبقه‌بندی از سه مؤلفه اول تبدیل MNF با استفاده از الگوریتم بیشترین شباهت استفاده شد، که نشان‌دهنده افزایش چشمگیری در دقت طبقه‌بندی (در حدود ۶ درصد افزایش دقت) است. شکل شماره<sup>(۳)</sup> تصاویر طبقه‌بندی شده منطقه مورد مطالعه را نشان می‌دهد.

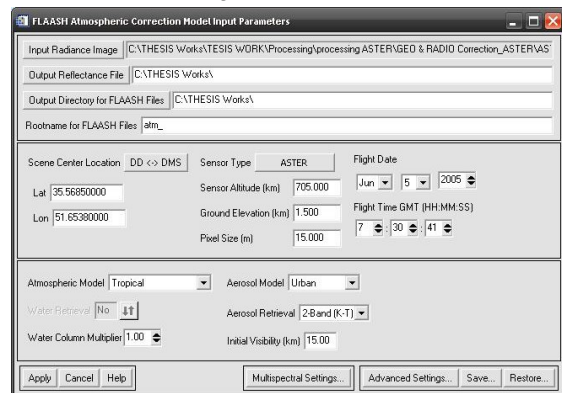
### الگوریتم جداسازی دما و گسیل‌مندی (TES) برای تخمین درجه حرارت سطح زمین

این روش، گسیل‌مندی سطحی زمین<sup>(۲۱)</sup> و دمای T را از باندهای حرارتی و با استفاده از تابش‌های خروجی زمین<sup>(۲۲)</sup> و تابش‌های آسمانی رو به پایین<sup>(۲۳)</sup> برآورد می‌کند (Gillespie و همکاران، ۱۹۹۸). این روش بر اساس معادله انتقال تابشی استفاده شده برای داده‌های حرارتی است. در صورتی که تابش دریافت شده در سنسور<sup>(۲۴)</sup> L<sub>i</sub><sup>sens</sup>، برای باند A باشد، معادله به فرم زیر خواهد بود:

$$L_i^{sens} = \varepsilon_i B_i(T_s) + (1 - \varepsilon_i) L_i^{atm} \quad (۳)$$

بهطوری که B<sub>i</sub> تابع پلانک است، T<sub>s</sub> دمای سطحی زمین و L<sub>i</sub><sup>atm</sup> تابش آسمانی رو به پایین است. الگوریتم TES سه مدل مختلف را به ترتیب استفاده می‌کند. ابتدا، مدل گسیل‌مندی نرم‌الایز شده (NEM<sup>(۲۵)</sup>) که برای برآورد دمای سطحی و کاهش تابش آسمانی بازتابش یافته استفاده می‌شود. در این مدل با احتساب L<sub>i</sub><sup>sens</sup> و L<sub>i</sub><sup>atm</sup>، به عنوان مقادیر ورودی از داده‌های ماهواره به عنوان یک محصول استاندارد ASTER (AST09) و نیز با فرض مقدار اولیه‌ای برای  $\epsilon$ ، امکان به دست آوردن یک مقدار اولیه، برای

تصاویر مختلف و یک تصویر در زمان‌های مختلف استفاده شود. در ادامه، به منظور کاهش آثار اتمسفری از مدل تصویر اتمسفری FLAASH استفاده شده است. مدل‌های تصویر اتمسفری نسبی برای کاربردهای پیچیده‌تر و در جایی که منابع زیادی از خطاهای اتمسفری وجود دارد (ازجمله مناطق شهری)، دقت لازم را نخواهند داشت. مشخصه‌های استفاده شده برای مدل تصویر اتمسفری FLAASH در شکل شماره<sup>(۲)</sup> به نمایش گذاشته شده است.



شکل شماره<sup>(۲)</sup>: مشخصه‌های ورودی مدل تصویر اتمسفری FLAASH

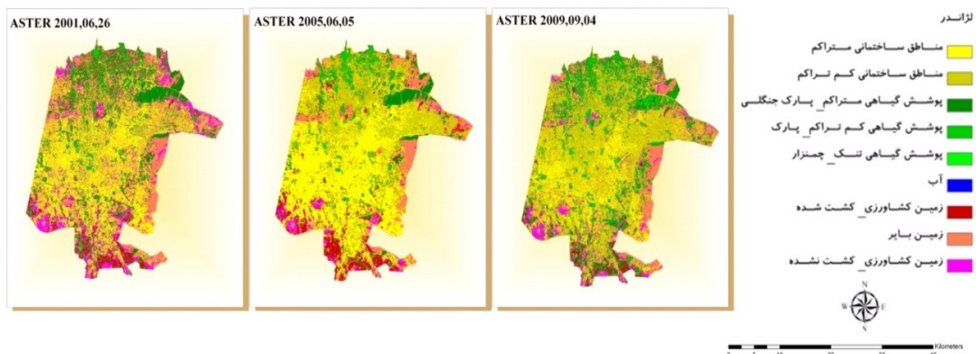
در باندهای حرارتی، تابش اندازه‌گیری شده در سنجنده، به علت آثار جوی دستخوش تغییراتی خواهد شد. مشخصه‌هایی که باعث این تغییر می‌شوند، شامل مؤلفه‌های رو به پایین و رو به بالای تابش اتمسفری<sup>(۲۶)</sup> و توانایی عبور اتمسفری<sup>(۲۷)</sup> هستند. در این تحقیق، با توجه به معلوم نبودن پروفایل‌های اتمسفری طی زمان گذر ماهواره و همچنین عدم دسترسی به نرم افزار MODTRAN از روش تصویر اتمسفری حرارتی بر مبنای الگوریتم تصویر اتمسفری درون صحنه<sup>(۲۸)</sup> ISAC، در نرم افزار ENVI استفاده شد. این الگوریتم در ناحیه حرارتی ۸ تا ۱۴ میکرون قابل استفاده بوده و بر این فرض استوار است که روی تمامی داده‌های صحنه، اثر اتمسفر یکنواخت است و حداقل سطحی شبیه جسم سیاه در داخل صحنه وجود دارد. برای این تصویر نیاز به موقعیت سطح جسم سیاه نیست و فقط برآورد تک لایه‌ای از اتمسفر، استفاده می‌شود (Johnson & Young, 1998).

### بارزسازی تصاویر ماهواره‌ای و طبقه‌بندی پوشش - کاربری زمین

با در نظر گرفتن اهداف تحقیق و داده‌های مورد، طبقه‌بندی<sup>(۲۹)</sup> پوشش - کاربری زمین با ایجاد کلاس‌های زیر صورت پذیرفت:

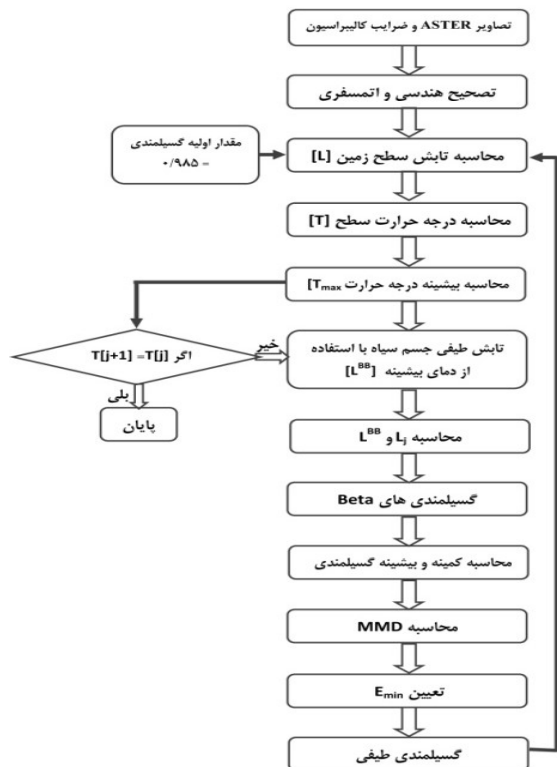
سپس  $T_s$  دوباره در معادله (۳) قرار داده شده و مقادیر گسیل‌مندی از باندهای حرارتی ASTER به دست می‌آیند. به منظور به دست آوردن مقادیر دیگری برای  $\epsilon$  و  $T$  روند فوق تکرار می‌شود. معمولاً دو یا سه تکرار برای به تعادل رسیدن نتایج کافی خواهد بود.

دماهی سطحی زمین وجود خواهد داشت. در واقع پنج مقدار مختلف برای  $T_s$  با معکوس کردن قانون پلانک برای هر باند حرارتی (باندهای ۱۰-۱۴) با استفاده از معادله (۳) بدست خواهد آمد. مقدار نهایی برای  $T_s$ ، ماکریتم این پنج مقدار خواهد بود.



شکل شماره (۳): کلاس‌های مختلف پوشش - کاربری زمین برای منطقه مورد مطالعه

$$T = \frac{C_2}{\lambda_i^* \cdot \ln[(\varepsilon_i^* \cdot C_1 / L_i^* \cdot \lambda_i^* \cdot \pi)^5 + 1]} \quad (7)$$



شکل شماره (۴): روند کلی الگوریتم TES

به طوری که  $i^*$ ، آن باندی از ASTER است که گسیل‌مندی  $(\epsilon^*)$  آن بیشینه باشد. در واقع در مرحله محاسبه درجه حرارت

شکل شماره (۴)، روند کلی الگوریتم TES را نمایش می‌دهد. برای بهتر شدن دقت، دو مدل MMD و RATIO نیز به کار برده شد. در مدل RATIO گسیل‌مندی‌های نسبی  $\beta_i$ ، از نسبت گسیل‌مندی‌های NEM به مقدار متosteشان بدست آمد. مدل اختلاف ماکریتم-مینیمم (MMD)، برای برآورد نهایی گسیل‌مندی و دماهی TES استفاده شد. در این مدل یک رابطه تجربی با برآورد  $\varepsilon_{min}$  از MMD برای تبدیل  $\beta_i$  به  $\varepsilon_i$  مورد استفاده قرار گرفت.

اولین مرحله در مدل MMD پیدا کردن کنتراست طیفی است:

$$MMD = \max(\beta_i) - \min(\beta_i) \quad (4)$$

و از آنجا داریم:

$$\varepsilon_{min} = 0.994 - 0.687 * MMD^{0.737} \quad (5)$$

در نتیجه، این گسیل‌مندی مینیمم برآورد شده برای محاسبه گسیل‌مندی TES استفاده خواهد شد:

$$\varepsilon_i = \beta_i \left( \frac{\varepsilon_{min}}{\min(\beta_i)} \right) \quad (6)$$

درجه حرارت سطح ( $T$ ) که از مدل NEM بدست آمده است، به علت فرضی بودن مقدار  $\varepsilon_{max}$ ، غیر دقیق بوده و با خطای در حدود ۳ درجه کلوین، همراه است. در این مرحله، با استفاده از گسیل‌مندی نهایی برآورد شده از رابطه فوق، تابش  $L$  تصحیح شده و دوباره برای محاسبه درجه حرارت سطح زمین مورد استفاده قرار می‌گیرد. درجه حرارت سطحی نهایی نیز با استفاده از رابطه زیر محاسبه می‌شود:

است، از این رو نیاز به محاسبه و استفاده از مؤلفه‌های دیگر در سطح زیر پیکسلی<sup>۷۷</sup> است.

به منظور مطالعه و بررسی در سطح زیر پیکسلی، تجزیه و تحلیل اختلاط طیفی خطی استفاده شد. در این مدل، طیف به صورت ترکیب خطی از طیف خالص در پیکسل در نظر گرفته شد که با استفاده از درصد فراوانی وزن دهنده شد.

در مدل خطی طیف انعکاس یک پیکسل به صورت مجموع انعکاس پیکسل‌های خالص ضرب در درصد فراوانی آن، تعیین شد. مدل اختلاط خطی برای یک پیکسل با انعکاس ۲۱ مشاهده و در باند<sup>۸۸</sup> به صورت زیر تعریف شد (Lu & Weng, 2004):

$$r_i = \sum_{j=1}^n f_j a_{ij} + \varepsilon_i \quad (8)$$

که در این رابطه:  $f_j$  درصد فراوانی عضو خالص  $j$ ,  $a_{ij}$  واکنش طیفی عضو خالص  $j$  در باند  $i$  و  $\varepsilon_i$  مقدار خطاست. درصد فراوانی در هر پیکسل (در نتایج خالص سازی طیفی) با معکوس گیری از رابطه ۸ بدست می‌آید. مجموع درصد فراوانی در هر پیکسل نیز برابر ۱ است.

$$\sum_{i=1}^n f_i = 1 \quad (9)$$

قید تکمیل کننده مورد نیاز در این رابطه، وجود درصد فراوانی‌ها بین ۰ و ۱ است.  $0 \leq f_i \leq 1$

برای حل  $f_j$  باید شرایط زیر در نظر گرفته شود: اعضای خالص انتخاب شده می‌باید مستقل از هم باشند. تعداد اعضای خالص می‌باید کمتر یا مساوی تعداد باندهای طیفی مورد استفاده باشند.

باندهای طیفی انتخاب شده نباید بشدت به هم وابسته باشند. به دست آوردن تصویر کسر عضو خالص با استفاده از روش تجزیه و تحلیل اختلاط طیفی خطی شامل سه مرحله است: ۱- پردازش تصویر، ۲- انتخاب اعضای خالص و ۳- جداسازی طیفی و محاسبه تصویر کسر. انتخاب اعضای خالص مناسب برای رسیدن به تصویر کسر بهینه از اهمیت بالایی برخوردار است. شناسایی و انتخاب اعضای خالص طیفی در یک تصویر یک مشخصه کلیدی در موفقیت مدل جداسازی طیفی خطی است.

برای تعیین اعضای خالص، به علت عدم دسترسی به کتابخانه طیفی آزمایشگاهی و یا داده‌های میدانی در زمان اخذ تصویر، اعضای خالص از مناطقی که در تصاویر شناسایی شده بودند، استخراج شد. بر اساس مطالعات صورت گرفته، سه عضو خالص

سطح، ۷ درجه حرارت سطح (یکی در هر کanal) محاسبه می‌شود که می‌باید برابر باشند، اما اختلاف ناچیزی در عمل نشان داده شده است.

یک روند تکرار در این مرحله پیشنهاد شده است که اختلاف بین ۷ درجه حرارت محاسبه شده را کاهاش داده و تصحیح تابش آسمانی رو به پایین را بهبود می‌بخشد.

معمولًاً دو یا سه تکرار برای به تعادل رسیدن نتایج کافی خواهد بود. روش TES توانایی بازیابی گسیل‌مندی را با دقتی در حدود ۱۵٪ و درجه حرارت سطح را با دقتی حدود ۱/۵ درجه کلوین دارد.

جزئیات بیشتر در مورد این الگوریتم در کار Gillespie و همکاران (۱۹۹۸)، ارایه شده است.

دقت برآورد درجه حرارت سطح و گسیل‌مندی سطح زمین از روش TES وابسته به تعیین دقیق MMD است. عوامل متعددی MMD را تحت تأثیر خود قرار می‌دهند که می‌توان به خطای کالیبراسیون کانال‌های حرارتی، تصحیح اتمسفری غیردقیق تابش‌های دریافتی سنجنده و نویز رادیومتریکی  $T$  اشاره کرد. برای سطوحی با تابیخ طیفی کم ( $MMD < 0.3$ ) نظری سطوح گیاهی و آب، MMD ظاهری ممکن است بزرگ‌تر از MMD واقعی شود.

در نتیجه رابطه بین  $\epsilon_{min}$  و  $MMD$  (رابطه ۵) نتایج مطلوبی را ارایه نکرده و منجر به طیف گسیل‌مندی نادرستی در اندازه (کمتر از مقدار واقعی) و شکل طیف و در نتیجه برآورد نادرستی از درجه حرارت سطح می‌شود.

در این حالت Gillespie و همکاران پیشنهاد کردند که برای تمامی پیکسل‌ها با  $MMD$  واقعی کمتر از مقدار آستانه ۰/۳، در رابطه (۵)، مقدار  $\epsilon_{min} = 0.983$  که مقدار تقریباً مناسبی برای اجسام خاکستری<sup>۷۹</sup> مانند آب و پوشش‌های گیاهی است، قرار داده شود. در حقیقت رابطه تجربی بین  $\epsilon_{min}$  و  $MMD$  فقط وقتی که  $MMD > 0.3$  باشد، جهت محاسبه  $\epsilon_{min}$  استفاده می‌شود.

### تجزیه و تحلیل اختلاط طیفی (SMA) برای تعیین فراوانی پوشش گیاهی (FVC)

در این تحقیق به منظور بررسی فراوانی و تراکم پوشش گیاهی، یکی از مؤلفه‌های در نظر گرفته شده شاخص NDVI است. اما به جهت این که منطقه مورد مطالعه یک منطقه غیریکنواخت

پوشش گیاهی (از جمله کلاس زمین کشاورزی کشت شده، پارک و فضای سبز) از درجه حرارت سطح پایین‌تری برخوردارند، به روشی می‌توان به تأثیر پوشش گیاهی در کاهش دمای سطح زمین، پی برد. با توجه به تاریخ اخذ داده‌های ماهواره‌ای (سالهای ۲۰۰۱، ۲۰۰۴ و ۲۰۰۹) و عدم وجود اندازه‌گیری‌های زمینی برای تعیین دمای انواع سطوح و کاربری‌های زمینی، در این تحقیق، از آمار سینوپتیکی ایستگاه‌های هواشناسی کشور، به منظور انجام مقایسه و بررسی میزان صحت مقادیر درجه حرارت سطح به دست آمده استفاده شد.

بدین صورت که آمار مربوط به دمای سطح زمین (سطح خاک) در محدوده ایستگاه‌های سینوپتیکی سازمان هواشناسی کشور (ایستگاه دوشان، ژئوفیزیک و مهرآباد) (شکل شماره ۶) که برای زمان‌های موردنظر موجود بود، اخذ شده و با درجه حرارت سطح زمین به دست آمده با استفاده از مدل استفاده شده در این تحقیق، مقایسه شد.

شایان ذکر است، فقط ایستگاه ژئوفیزیک در محدوده تحت پوشش تصاویر قرار دارد، از این رو مقایسه نتایج فقط برای این ایستگاه صورت گرفته است (جدول شماره ۳).

برای این منظور دمای سطح زمین اندازه‌گیری شده در ایستگاه مورد نظر با درجه حرارت سطح زمین بدست آمده با استفاده از آزمون آماری  $T$  جفت شده مقایسه شد.

میزان دقت مورد استفاده در این آزمون سطح معنی دار  $0.5\%$  است (سطح اطمینان ۹۵ درصد) که می‌باید به منظور قبول فرض صفر، مقدار  $p$ -value ( $sig$ ) از مقدار سطح معنی دار  $0.5\%$  بیشتر باشد (مقدار صفر بین مقادیر حد بالا و حد پایین برای فواصل اطمینان ۹۵ درصد قرار می‌گیرد، به عبارت دیگر مقدار به دست آمده برای  $T$  از مقدار شاخص به دست آمده از جدول توزیع  $T$  برای احتمال معین با درجه آزادی مشخص، کمتر باشد) (Johnson & Bhattacharyya, 2009).

جدول شماره (۴) نتایج حاصل از مقایسه را نشان می‌دهد که میین عدم وجود اختلاف معنی دار بین مقادیر درجه حرارت سطح به دست آمده (نخمنی) و دمای سطح زمین اندازه گیری شده در ایستگاه ژئوفیزیک است.

خاک بایر، پوشش گیاهی سبز و سایه، تصاویر کسر مناسب را تولید می‌کنند که در این تحقیق، از الگوریتم SMACC نرم افزار ENVI به منظور استخراج اعضای خالص مورد نظر و در ادامه، از تصویر کسر فراوانی پوشش گیاهی برای تجزیه و تحلیل ارتباط بین درجه حرارت سطح زمین با تراکم پوشش گیاهی، استفاده شد.

## نتایج و بحث

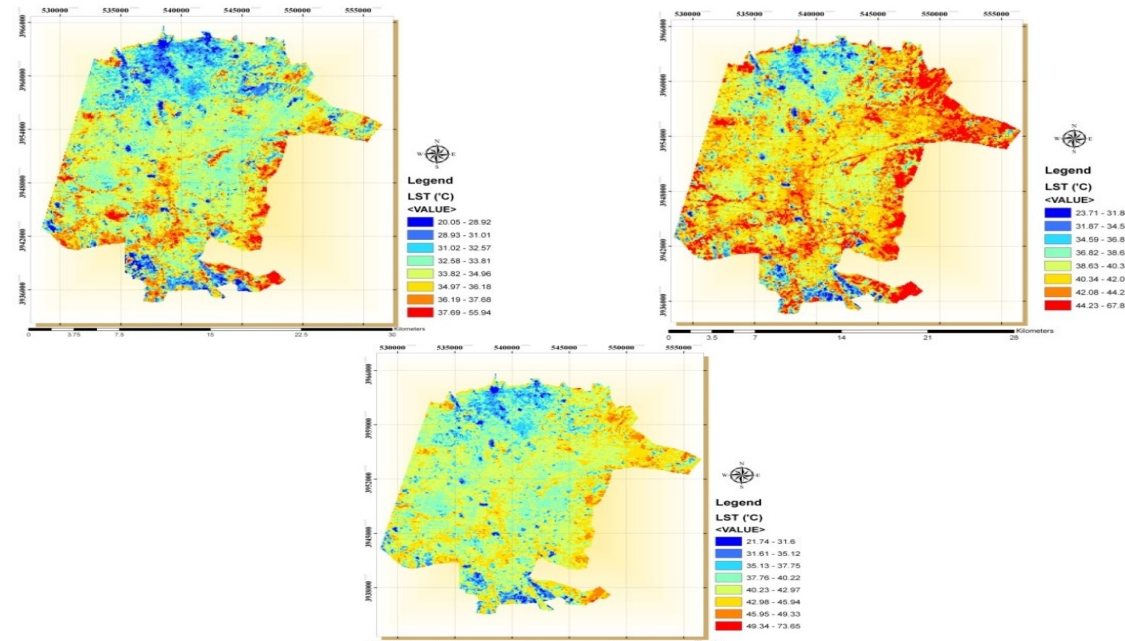
### تحلیل درجه حرارت سطح زمین در ارتباط با کلاس‌های پوشش-کاربری زمین شهری

شکل شماره (۵) نقشه توزیع مکانی درجه حرارت سطح زمین را برای تصاویر سالهای مختلف نشان می‌دهد. همان‌طور که مشاهده می‌شود محدوده درجه حرارت سطح زمین بین  $20.5^{\circ}\text{C}$  تا  $20.9^{\circ}\text{C}$  با میانگین  $20.7^{\circ}\text{C}$  و انحراف معیار  $0.11^{\circ}\text{C}$ ، بین  $21.1^{\circ}\text{C}$  تا  $21.8^{\circ}\text{C}$  با میانگین  $21.4^{\circ}\text{C}$  و انحراف معیار  $0.05^{\circ}\text{C}$  و بین  $21.7^{\circ}\text{C}$  تا  $21.6^{\circ}\text{C}$  با میانگین  $21.7^{\circ}\text{C}$  و انحراف معیار  $0.04^{\circ}\text{C}$ ، به ترتیب برای تصویر ASTER سالهای ۲۰۰۱، ۲۰۰۵ و ۲۰۰۹ است.

چنانچه از تمامی تصاویر مشاهده میگردد بخش‌های شرقی و مرکزی منطقه دارای درجه حرارت سطح بالایی هستند که اساساً به علت وجود زمین‌های بایر در قسمت‌های شرقی منطقه مورد مطالعه و مناطق ساختمانی در بخش‌های مرکزی است.

با توجه به نقشه‌های درجه حرارت سطح به دست آمده و بدون لحاظ کردن تأثیر تغییر ارتفاع در مناطق مختلف شهر، بخش‌های شمالی و جنوبی منطقه مورد مطالعه از درجه حرارت پایین‌تری نسبت به سایر قسمت‌ها برخوردارند که بیشتر به علت وجود پوشش‌های گیاهی و پارک‌ها و فضای سبز در قسمت شمالی و وجود زمین‌های کشاورزی در سمت‌های پایینی و جنوبی منطقه است. جدول شماره (۲) مقادیر درجه حرارت سطح زمین را برای کلاس‌های پوشش-کاربری زمین در سالهای مختلف نشان می‌دهد. همان‌طور که مشاهده می‌شود مقادیر درجه حرارت سطح در تمامی تصاویر برای کلاس زمین بایر بیشینه است.

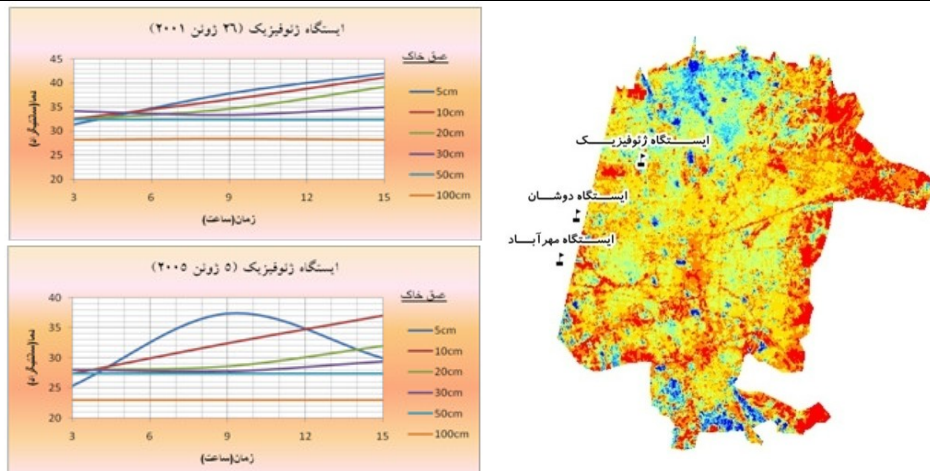
پس از آن کلاس‌های زمین کشاورزی کشت نشده، مناطق ساختمانی متراکم و کم تراکم، درجه حرارت‌های سطح بالاتری نسبت به بقیه کلاس‌ها دارا هستند. از آنجایی که مناطق دارای



شکل شماره (۵): پخش مکانی درجه حرارت سطح زمین در منطقه مورد مطالعه (نالا سمت چپ، ۲۰۰۱، بالا سمت راست ۲۰۰۵ و پایین ۲۰۰۹)

جدول شماره (۲): درجه حرارت سطح به دست آمده برای تصاویر ASTER در سالهای مختلف

درجة حرارت سطح زمین (°C)											
سال ۲۰۰۹				سال ۲۰۰۵				سال ۲۰۰۱			
کلاس پوشش - کاربری زمین	میانگین	حداکثر	حداقل	کاربری زمین	میانگین	حداکثر	حداقل	کاربری زمین	میانگین	حداکثر	حداقل
مناطق ساختمانی متراکم	۳۷/۴۱	۴۳/۲۶	۳۵/۱۲	۱/۱۰۱	۳۵/۱۶	۴۰/۲۱	۳۲/۲۲	۱/۴۴۸	۴۱/۵۹	۴۶/۹۴	۳۸/۸۲
مناطق ساختمانی کم تراکم	۳۵/۹۰	۴۱/۱۹	۳۰/۷۵	۰/۸۷۹	۳۲/۷۹	۳۵/۲۳	۳۰/۴۸	۱/۵۵۷	۳۹/۴۶	۴۶/۲۶	۳۶/۴۶
پوشش گیاهی متراکم (بارک چنگلی)	۳۵/۵۸	۴۵/۷۹	۲۵/۴۸	۱/۷۵۳	۲۶/۶۰	۳۲/۲۰	۲۲/۰۳	۱/۷۱۴	۳۷/۶۰	۴۰/۴۸	۳۳/۹۲
پوشش گیاهی کم تراکم (بارک)	۲۸/۵۳	۳۷/۴۳	۲۱/۷۴	۱/۵۵۶	۳۰/۸۲	۳۴/۷۸	۲۶/۶۸	۲/۷۴۷	۳۰/۹۱	۴۰/۰۷	۲۶/۲۳
پوشش گیاهی تنک (چمنزار)	۳۷/۵۵	۴۰/۱۵	۳۳/۰۷	۲/۴۳۳	۳۳/۰۶	۳۷/۲۰	۳۱/۱۴	۲/۰۳۵	۳۸/۸۷	۴۲/۰۳	۳۲/۸۱
آب	۲۶/۲۸	۲۹/۴۱	۲۳/۵۵	۱/۴۸۴	۲۸/۱۴	۳۳/۱۸	۲۶/۲۸	۲/۳۰۶	۳۱/۷۹	۳۴/۱۰	۲۹/۴۸
زمین کشاورزی - کشت شده	۳۰/۴۹	۳۹/۵۵	۲۶/۸۱	۱/۰۷۳	۳۱/۶۳	۳۷/۲۱	۲۹/۹۲	۴/۶۹۴	۳۴/۲۴	۴۴/۱۸	۲۵/۲۶
زمین بایر	۴۸/۱۷	۵۸/۲۳	۴۱/۰۴	۱/۱۵۷	۳۶/۲۹	۳۸/۴۹	۳۱/۵۱	۲/۰۳۵	۴۵/۳۱	۴۸/۶۵	۳۸/۸۲
زمین کشاورزی - کشت نشده	۴۴/۹۷	۴۹/۲۵	۴۱/۰۴	۲/۸۰۷	۳۰/۰۵	۳۷/۲۰	۲۵/۲۲	۱/۹۵۰	۴۳/۰۱	۴۶/۲۲	۳۸/۲۷



شکل شماره (۶): سمت راست: موقعیت ایستگاه‌های هواشناسی، سمت چپ: کردار تغییرات دمای سطح زمین برای ایستگاه ژئوفیزیک

جدول شماره (۳): مشخصه‌های درجه حرارت سطح به دست آمده در این تحقیق و داده‌های سینوپتیک ایستگاه هواشناسی

(آمار سازمان هواشناسی)	درجه حرارت سطح زمین (خاک) (°C)	مشخصه‌های درجه حرارت سطح تخمینی (°C)				تاریخ	ایستگاه هواشناسی (موقعیت)
		انحراف معیار	میانگین	حداکثر	حداقل		
۳۵/۷	۱/۵۴۰	۳۵/۶۵	۳۸/۱۶	۳۴/۰۹	۲۰۰۱ ۲۶ زوئن	۳۴/۰۹	ایستگاه ژئوفیزیک
۳۷/۴	۱/۴۷۳	۳۱/۴۱	۳۳/۰۹	۲۸/۴۲	۲۰۰۵ ۵ زوئن	۲۸/۴۲	(۳۵ ° شمالي - ۲۳ ° ۵۱ شرقی)

جدول شماره (۴): نتایج مقایسه درجه حرارت سطح به دست آمده (تخمینی) و دمای سطح زمین اندازه‌گیری شده

## بواي ایستگاه سینوپتیک هواشناسی با استفاده از آزمون آماری T جفت شده

Sig(p-value)	T	% فواصل اطمینان ۹۵		انحراف معیار	میانگین اختلاف	نوع مقایسه			
		برای اختلاف میانگین							
		حد پایین	حد بالا						
.۰/۴۸۴	۱/۰۵۲	-۱۱/۳۰۵	۱۳/۳۴۵	۱/۳۷۱۷	۱/۰۲۰	درجه حرارت سطح به دست آمده (تخمینی) و دمای سطح زمین اندازه‌گیری شده برای ایستگاه هواشناسی ژئوفیزیک			

جدول شماره (۵): ضریب وابستگی پیرسون بین مقادیر

## درجه حرارت سطح با مقادیر FVC و NDVI

ضریب وابستگی پیرسون (FVC و LST)	ضریب وابستگی پیرسون (LST) و NDVI	تصویر
- .۰/۳۸۴	- .۰/۳۵۳	ASTER(Date: 26-06-2001)
- .۰/۳۳۵	- .۰/۳۷۹	ASTER(Date: 05-06-2005)

به منظور بررسی دقیق‌تر رابطه بین درجه حرارت سطح زمین و مقادیر تراکم پوشش گیاهی، جدول شماره (۶) وابستگی بین مقادیر درجه حرارت سطح زمین (LST) و مقادیر تراکم پوشش گیاهی (FVC و NDVI) را برای انواع کلاس‌های پوشش -کاربری زمین (FVC و NDVI) به منظور ASTER سال ۲۰۰۱ و ۲۰۰۵، نشان می‌دهد. برای تصاویر ASTER همان طور که مشاهده می‌شود برای تمامی انواع پوشش - کاربری زمین مقادیر FVC و NDVI دارای وابستگی منفی با درجه حرارت سطح زمین (LST) است (بجز برای کلاس آب). وابستگی منفی بالایی بین درجه حرارت سطح و مقادیر NDVI برای کلاس‌های پوشش گیاهی مترکام (۰/۳۱۰ و -۰/۲۲۶)، پوشش گیاهی کم تراکم (۰/۳۶۱ و -۰/۰۷۷) و زمین کشاورزی کشت شده (۰/۰۳۶۹ و -۰/۰۳۵۴) دیده می‌شود (مقادیر به ترتیب مربوط به سالهای ۲۰۰۱ و ۲۰۰۵ است). همان‌طور که مشهود است این مسئله برای مقادیر FVC هم در کلاس‌های مورد نظر صادق است. حداقل وابستگی منفی هم برای هر دو مقادیر NDVI و FVC مربوط به کلاس زمین بایر در هر دو سال است که به روشنی مؤید این مطلب است که در این مناطق، تراکم پوشش گیاهی نسبت به دیگر کلاس‌های

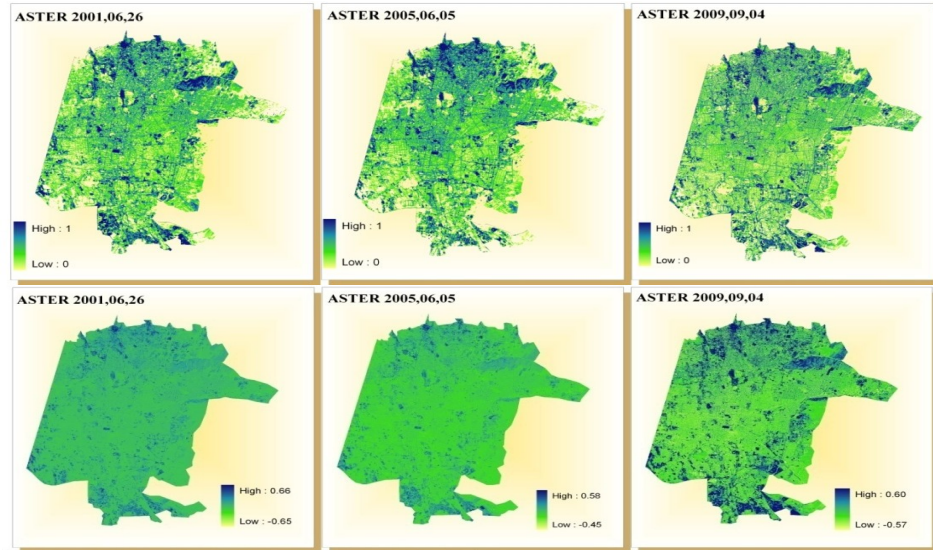
## بررسی اثر تراکم پوشش گیاهی بر درجه حرارت سطح زمین و مدل‌سازی ارتباط آن دو

پوشش گیاهی به عنوان یکی از مهم‌ترین مشخصه‌های مؤثر در تغییرات درجه حرارت سطح زمین می‌تواند در تحلیل‌های مربوط به رشد و گسترش شهری، ایفای نقش نماید. از این رو در این قسمت به بررسی ارتباط بین درجه حرارت سطح با میزان تراکم پوشش گیاهی پرداخته می‌شود. برای این منظور دو شاخص مهم: شاخص تفاضلی نرمال شده گیاهی یا NDVI و شاخص کسر فراوانی پوشش گیاهی یا FVC، درنظر گرفته شد (شکل شماره ۷). برای بررسی ارتباط بین درجه حرارت سطح زمین و تراکم پوشش گیاهی از تصاویر سنجنده ASTER سالهای ۲۰۰۱ و ۲۰۰۵ استفاده و از تصویر سال ۲۰۰۹ برای کنترل روابط به دست آمده برای پیش‌بینی درجه حرارت سطح زمین، استفاده شد. به منظور بررسی ارتباط بین درجه حرارت سطح و میزان تراکم پوشش گیاهی، میزان وابستگی بین درجه حرارت سطح و تراکم پوشش گیاهی در کلاس‌های پوشش -کاربری زمین محاسبه شده است. برای نیل به نتایج بهتر، نقشه‌های FVC و NDVI تولید شده به پیکسل‌های ۹۰ متری نمونه‌برداری مجدد <sup>۲۸</sup> شدند.

جدول شماره (۵) ضرایب وابستگی بین درجه حرارت سطح و تراکم پوشش گیاهی را برای تصاویر ASTER سالهای ۲۰۰۱ و ۲۰۰۵ نشان می‌دهد. نتایج حاصل نشان دهنده وجود وابستگی منفی برای مقادیر درجه حرارت سطح زمین با مقادیر NDVI و FVC است.

بالاتر است، وابستگی بین درجه حرارت سطح زمین و شاخص‌های پوشش گیاهی کمتر است (دارای ضریب وابستگی منفی پایین)، که بوضوح میان تراکم پایین پوشش گیاهی در این کلاس‌هاست.

پوشش-کاربری زمین (بجز آب) کمتر است، با مقایسه بین مقادیر درجه حرارت سطح (جدول شماره ۲) و مقادیر وابستگی آورده شده در جدول شماره (۶)، می‌توان عنوان کرد که برای کلاس‌های پوشش - کاربری زمین که در آنها میانگین درجه حرارت سطح زمین



**شکل شماره (۷): بالا: تصاویر NDVI و پایین: تصاویر FVC تولید شده برای سالهای مختلف از منطقه مورد مطالعه**  
**جدول شماره (۶): ضریب وابستگی بین مقادیر درجه حرارت سطح و مقادیر NDVI و FVC**

ASTER 2005		ASTER 2001		- نوع پوشش-
ضریب وابستگی و LST) (FVC	ضریب وابستگی و LST) (NDVI	ضریب وابستگی و LST) (FVC	ضریب وابستگی و LST) (NDVI	کاربری زمین
- . /۲۸۵	- . /۱۹۳	- . /۳۰۲	- . /۲۳۴	مناطق ساختمانی
- . /۲۹۷	- . /۲۱۲	- . /۳۲۴	- . /۲۲۱	مناطق ساختمانی کم تراکم
- . /۳۷۸	- . /۲۲۶	- . /۴۲۱	- . /۳۱۱	پوشش گیاهی (بارک جنگلی)
- . /۴۰۵	- . /۲۷۷	- . /۴۳۸	- . /۳۶۱	پوشش گیاهی کم تراکم (پارک)
- . /۳۶۷	- . /۲۷۶	- . /۴۱۲	- . /۲۸۹	پوشش گیاهی تنک (جمزار)
. /۴۶	. /۱۵	. /۳۶	. /۱۲	آب
- . /۴۳۳	- . /۳۵۴	- . /۴۵۶	- . /۳۶۹	زمین کشاورزی - کشت شده
- . /۰۲	- . /۰۵	- . /۱۵۷	- . /۱۱۲	زمین بایر
- . /۰۷۶	- . /۱۳۴	- . /۰۶۴	- . /۱۲۲	زمین کشاورزی - کشت نشده

وجود وابستگی شدید بین درجه حرارت سطح زمین و مقادیر تراکم پوشش گیاهی در کلاس‌های پوشش - کاربری زمین، امکان ایجاد رگرسیونی را برای بررسی دقیق‌تر ارتباط بین این دو مشخصه، فراهم می‌آورد.

به طوری که می‌توان با استفاده از ایجاد یک رگرسیون خطی، اقدام به پیش‌بینی درجه حرارت سطح زمین با استفاده از مشخصه‌های شاخص پوشش گیاهی؛ با دقت قابل قبول کرد (در صورتی که مقادیر NDVI و FVC معلوم باشند). برای این منظور، ابتدا کلاس‌های پوشش - کاربری زمین که دارای مقادیر وابستگی بالایی نسبت به بقیه کلاس‌ها هستند (از جمله کلاس مناطق ساختمانی کم تراکم، پوشش گیاهی کم تراکم (پارک) و زمین کشاورزی کشت شده) در هر دو تصویر انتخاب شده و سپس روابط رگرسیون خطی بین درجه حرارت سطح زمین و مقادیر NDVI و FVC برای نمونه‌های شاهد (به تعداد نمونه‌های یکسان در هر دو تصویر) در داخل این کلاس‌ها با سطح اطمینان ۹۹ درصد برقرار شد (جدول شماره ۷).

پوشش - کاربری زمین برای هر دو تصویر در سالهای ۲۰۰۱ و ۲۰۰۵ تا حد نسبتاً زیادی مشابه هم است. از این رو از این روابط می‌توان به منظور پیش‌بینی درجه حرارت سطح انواع پوشش - کاربری زمین برای سالهای مختلف نیز استفاده کرد.

همان‌طور که مشخص است، روابط ایجاد شده بین مقادیر درجه حرارت سطح و مقادیر کسر فراوانی پوشش گیاهی (FVC) روابط قویتری نسبت به مقادیر NDVI هستند (ضریب تبیین مقادیر FVC بیشتر است). همچنان روابط ایجاد شده برای هر یک از انواع

#### جدول شماره (۷): رگرسیون خطی برای پیش‌بینی درجه حرارت سطح انواع پوشش - کاربری زمین

سال اخذ داده	نوع پوشش - کاربری زمین	رگرسیون خطی (LST) و NDVI	رگرسیون خطی (LST)	ضریب تبیین $R^2$ , (FVC)	ضریب تبیین $R^2$ , (NDVI)
۲۰۰۱	مناطق ساختمانی کم تراکم پوشش گیاهی کم تراکم (پارک)	$Y_{LST} = -6/347X_{NDVI} + 41/662$	$Y_{LST} = -15/376X_{FVC} + 47/113$	.۰/۴۰۰	.۰/۱۹۱
۲۰۰۵	زمین کشاورزی کشت شده پوشش گیاهی کم تراکم (پارک)	$Y_{LST} = -8/589X_{NDVI} + 41/350$	$Y_{LST} = -23/363X_{FVC} + 55/772$	.۰/۵۰۲	.۰/۱۹۳
	مناطق ساختمانی کم تراکم پوشش گیاهی کم تراکم (پارک)	$Y_{LST} = -9/055X_{NDVI} + 41/685$	$Y_{LST} = -22/792X_{FVC} + 55/930$	.۰/۵۶۶	.۰/۲۴۳
	مناطق ساختمانی کم تراکم پوشش گیاهی کم تراکم (پارک)	$Y_{LST} = -6/660X_{NDVI} + 41/766$	$Y_{LST} = -17/314X_{FVC} + 48/513$	.۰/۲۵۶	.۰/۲۳۵
	زمین کشاورزی کشت شده	$Y_{LST} = -9/034X_{NDVI} + 41/334$	$Y_{LST} = -23/347X_{FVC} + 56/354$	.۰/۴۰۱	.۰/۲۷۸
	زمین کشاورزی کشت شده	$Y_{LST} = -9/349X_{NDVI} + 41/789$	$Y_{LST} = -23/001X_{FVC} + 43/079$	.۰/۵۳۴	.۰/۳۱۴

دیگر باید مقدار به دست آمده برای  $T$  از مقدار شاخص به دست آمده از جدول توزیع  $T$  برای احتمال معین با درجه آزادی مشخص، کمتر باشد (Johnson & Bhattacharyya, 2009). همان‌طور که از جداول مشخص است، برای کلاس‌های مناطق ساختمانی کم تراکم و پوشش گیاهی کم تراکم (پارک) مقدار صفر بین مقادیر حد بالا و حد پایین فواصل اطمینان برای اختلاف میانگین <sup>۶۹</sup> قرار می‌گیرد. بنابراین فرض صفر، قبول می‌شود که مبین عدم اختلاف بین میانگین درجه حرارت سطح پیش‌بینی شده و درجه حرارت سطح تخمینی است و نشان‌دهنده رضایت روابط رگرسیونی به دست آمده است. ولی همان‌طور که مشاهده می‌شود، اختلاف میانگین درجه حرارت سطح تخمینی و درجه حرارت سطح پیش‌بینی شده با درجه حرارت سطح تخمینی و درجه حرارت سطح معلوم برای کلاس زمین کشاورزی کشت شده معنی دار است (مقدار صفر بین مقادیر حد بالا و حد پایین فواصل اطمینان برای اختلاف میانگین قرار ندارد).

علت عده‌ای این مسئله را می‌توان به تاریخ اخذ تصویر ماهواره‌ای سال ۲۰۰۹ نسبت داد که این تصویر در زمان ماه سپتامبر (اواسط شهریورماه) اخذ شده است و با توجه به این که برای این زمان از سال در منطقه مورد مطالعه زمین‌های کشاورزی و زراعی فصل برداشت خود را سپری می‌کنند و از تراکم نسبتاً پایین پوشش گیاهی و سبزینگی کمتری برخوردار هستند از این رو انتظار می‌رود که مقادیر NDVI و بویژه FVC نسبت به میزان این مقادیر در ماه ژوئن (تیرماه) که روابط رگرسیونی مورد نظر با استفاده از تصاویر مربوط به این ماه به دست آمده‌اند، تغییر چشمگیری داشته باشند و باعث ایجاد اختلافاتی در روند پیش‌بینی درجه حرارت سطح، همچنان که مشاهده می‌شود، شود.

به منظور بررسی دقیق روابط به دست آمده در جدول شماره (۷)، همان‌طور که پیش‌تر نیز اشاره شد از تصویر ASTER سال ۲۰۰۹ برای ارزیابی و کنترل روابط رگرسیونی ایجاد شده، استفاده شده است. با این هدف، ابتدا مقادیر NDVI و FVC برای تصویر ASTER سال ۲۰۰۹ محاسبه شده و سپس با روابط به دست آمده برای دو تصویر سالهای ۲۰۰۱ و ۲۰۰۵ که در جدول شماره (۷) آمده است، مقادیر درجه حرارت سطح برای کلاس‌های پوشش - کاربری مناطق ساختمانی کم تراکم، پوشش گیاهی کم تراکم و زمین کشاورزی کشت شده در تصویر سال ۲۰۰۹ برآورد شده است. برای این که مشخص شود آیا اختلاف معنی‌داری در میانگین درجه حرارت سطح در این کلاس‌ها در رابطه با درجه حرارت سطح برآورد شده از روابط رگرسیون و مقادیر به دست آمده درجه حرارت سطح (با استفاده از الگوریتم TES) برای تصویر ASTER سال ۲۰۰۹ وجود دارد یا خیر، از آزمون آماری  $T$  نمونه‌های جفت شده استفاده شده است. در این آزمون فرض صفر ( $H_0$ ) این است که بین میانگین درجه حرارت سطح اختلاف معنی‌داری وجود ندارد و فرض مخالف ( $H_1$ ) به معنی این است که بین میانگین درجه حرارت سطح، اختلاف معنی‌دار وجود دارد. نتایج به دست آمده برای این آزمون بر اساس نمونه‌های شاهد (در داخل کلاس‌ها) و مقادیر برآورد شده توسط روابط رگرسیونی برای همان موقعیت نمونه‌های شاهد در جداول شماره (۸ تا ۱۰) ارائه شده است. میزان دقت مورد استفاده در این آزمون سطح معنی‌دار  $> 0.5$  است (سطح اطمینان ۹۵ درصد) که می‌باید به منظور قبول فرض صفر، مقدار sig (p-value) از مقدار سطح معنی‌دار  $< 0.5$  بیشتر باشد (مقدار صفر بین مقادیر حد بالا و حد پایین فواصل اطمینان ۹۵ درصد قرار می‌گیرد، به عبارت

**جدول شماره (۸): مقایسه درجه حرارت سطح تخمینی با درجه حرارت سطح پیش‌بینی شده با روابط رگرسیونی در کلاس پوشش - کاربری مناطق ساختمانی کم تراکم برای تصویر ASTER سال ۲۰۰۹**

Sig(p-value)	T	%۹۵ فواصل اطمینان برای اختلاف میانگین		انحراف معیار	میانگین اختلاف	نوع مقایسه
		حد پایین	حد بالا			
.۰/۵۰۲	.۰/۶۹۶	-۰/۳۵۲	.۰/۶۷۱	.۰/۲۹۶	.۰/۱۵۹	درجه حرارت سطح تخمینی و درجه حرارت سطح پیش‌بینی شده توسط رابطه سال ۲۰۰۱ با استفاده از مقادیر NDVI معلوم
.۰/۳۹۶	.۰/۸۸۷	-۱/۳۱۴	۲/۰۵۱	.۰/۹۷۹۶	.۰/۸۶۸	درجه حرارت سطح تخمینی و درجه حرارت سطح پیش‌بینی شده توسط رابطه سال ۲۰۰۱ با استفاده از مقادیر FVC معلوم
.۰/۸۰۳	.۰/۲۵۵	-۰/۴۵۷	.۰/۵۷۷	.۰/۲۳۴۹	.۰/۰۶	درجه حرارت سطح تخمینی و درجه حرارت سطح پیش‌بینی شده توسط رابطه سال ۲۰۰۵ با استفاده از مقادیر NDVI معلوم
.۰/۸۷۱	.۰/۱۶۶	-۲/۰۲۵	۲/۳۵۶	.۰/۹۶۵۵	.۰/۱۶۵	درجه حرارت سطح تخمینی و درجه حرارت سطح پیش‌بینی شده توسط رابطه سال ۲۰۰۵ با استفاده از مقادیر FVC معلوم

**جدول شماره (۹): مقایسه درجه حرارت سطح تخمینی با درجه حرارت سطح پیش‌بینی شده با روابط رگرسیونی در کلاس پوشش - کاربری پوشش گیاهی کم تراکم (پارک) برای تصویر ASTER سال ۲۰۰۹**

Sig(p-value)	T	%۹۵ فواصل اطمینان برای اختلاف میانگین		اشتباه معیار	میانگین اختلاف	نوع مقایسه
		حد پایین	حد بالا			
.۰/۱۳۸	.۱/۵۸۲	-۰/۲۵۵	۱/۶۵۵	.۰/۴۴۲۳	.۰/۶۹۹	درجه حرارت سطح تخمینی و درجه حرارت سطح پیش‌بینی شده توسط رابطه سال ۲۰۰۱ با استفاده از مقادیر NDVI معلوم
.۰/۴۰۷	.۰/۸۵۸	-۴/۱۱۹	۱/۷۷۸	.۱/۳۶۵۰	.۱/۱۷۰	درجه حرارت سطح تخمینی و درجه حرارت سطح پیش‌بینی شده توسط رابطه سال ۲۰۰۱ با استفاده از مقادیر FVC معلوم
.۰/۰۹۹	.۱/۷۷۶	-۰/۱۷۴	۱/۷۸۲	.۰/۴۵۲۷	.۰/۸۰۴	درجه حرارت سطح تخمینی و درجه حرارت سطح پیش‌بینی شده توسط رابطه سال ۲۰۰۵ با استفاده از مقادیر NDVI معلوم
.۰/۲۱۹	.۱/۲۹۲	-۴/۷۱۰	۱/۱۸۵	.۱/۳۶۴۲	.۱/۷۶۲	درجه حرارت سطح تخمینی و درجه حرارت سطح پیش‌بینی شده توسط رابطه سال ۲۰۰۵ با استفاده از مقادیر FVC معلوم

**جدول شماره (۱۰): مقایسه درجه حرارت سطح تخمینی با درجه حرارت سطح پیش‌بینی شده با روابط رگرسیونی در کلاس پوشش - کاربری زمین کشاورزی کشت شده برای تصویر ASTER سال ۲۰۰۹**

Sig(p-value)	T	%۹۵ فواصل اطمینان برای اختلاف میانگین		اشتباه معیار	میانگین اختلاف	نوع مقایسه
		حد پایین	حد بالا			
.۰/۲۲۴	.۱/۱۷۱	-۰/۴۶۷	.۰/۱۲۰	.۰/۱۴۸۱	.۰/۱۷۳	درجه حرارت سطح تخمینی و درجه حرارت سطح پیش‌بینی شده توسط رابطه سال ۲۰۰۱ با استفاده از مقادیر NDVI معلوم
.۰/۰۰۱	.۱۳/۷۲۴	۶/۷۱۵	.۸/۹۸۳	.۰/۵۷۱۹	.۷/۸۴۹	درجه حرارت سطح تخمینی و درجه حرارت سطح پیش‌بینی شده توسط رابطه سال ۲۰۰۱ با استفاده از مقادیر FVC معلوم
.۰/۱۱۱	.۱/۶۰۸	-۰/۰۵۷	.۰/۵۴۴	.۰/۱۵۱۶	.۰/۲۴۴	درجه حرارت سطح تخمینی و درجه حرارت سطح پیش‌بینی شده توسط رابطه سال ۲۰۰۵ با استفاده از مقادیر NDVI معلوم
.۰/۰۰۱	.۸/۷۸۶	۳/۹۲۷	.۶/۲۱۵	.۰/۵۷۷۲	.۵/۰۷۱	درجه حرارت سطح تخمینی و درجه حرارت سطح پیش‌بینی شده توسط رابطه سال ۲۰۰۵ با استفاده از مقادیر FVC معلوم

و دمای سطح زمین را تا حد قابل قبولی نشان دهد. بررسی رابطه بین مشخصه‌های تراکم پوشش گیاهی و درجه حرارت سطح زمین، مؤید این مطلب است که برای کلاس‌های مختلف پوشش - کاربری زمین، وجود پوشش گیاهی سبب کاهش درجه حرارت سطح زمین می‌شود. به طوری که در حین مطالعه مشخص شد، دمای سطحی در بخش‌های پرترکم ساختمانی و بایر شهری بیشتر از بقیه مناطق

### نتیجه‌گیری و پیشنهادات

در این تحقیق، توانایی فناوری سنجش از دور برای مطالعه مرغولوژی شهری، از طریق تخمین و برآورد شدت و پخش مکانی مشخصه حرارت سطح زمین، مورد بررسی قرار گرفت. نتایج بررسی‌ها نشان داد که استفاده از روش TES جهت تخمین مشخصه گسلمندی و درجه حرارت سطح زمین می‌تواند مؤثر بوده

دقیق‌تر این موضوع فراهم خواهد شد. همچنین پاره‌ای از فعالیت‌ها از قبیل مسیرهای پُرتردد وسایل نقلیه در شهر، می‌تواند در برخی نقاط منجر به افزایش درجه حرارت شود. بنابراین در صورت در اختیار داشتن داده‌های ماهواره‌ای با قدرت تفکیک زمانی مناسب، امکان بررسی دقیق‌تر این تغییرات به صورت پویا میسر خواهد شد.

### تشکر و قدردانی

نویسنده‌گان مقاله بر خود لازم می‌دانند بدین وسیله از زحمات و همکاری آقای یوسف رضائی دانشجوی دوره دکتری و سرکار خانم مهراءکبرزاده، دانشجوی دوره کارشناسی ارشد سنجش از دور دانشکده مهندسی نقشه‌برداری دانشگاه صنعتی خواجه نصیرالدین طوسی، صمیمانه تقدير و تشکر کنند.

### یادداشت‌ها

- 1-Impervious Surface
- 2-Urban Heat Island
- 3-Spatial Interpolation
- 4-Geostationary Operational Environmental Satellite
- 5-NOAA Advanced Very High Resolution Radiometer
- 6-Moderate resolution Imaging Spectroradiometer
- 7-Terra Advanced Space borne Thermal Emission and Reflection Radiometer
- 8-Landsat-7 Enhanced Thematic Mapper
- 9- Aerosols
- 10- Temperature and Emissivity Separation algorithm
- 11- Normalized Difference Vegetation Index
- 12-Fractional Vegetation Cover
- 13- Digital Numbers
- 14-Down-welling and upwelling atmospheric radiance
- 15-Atmospheric transmittance
- 16-In-Scene
- 17- Classification
- 18-Region of Interest
- 19- Maximum Likelihood Classification (MLC)
- 20- Minimum Noise Fraction
- 21-Land-leaving radiance
- 22-Down-welling atmospheric irradiances
- 23-At-sensor radiance
- 24-Normalized Emissivity Method
- 25-Maximum-Minimum Difference
- 26-Gray bodies
- 27-Sub-Pixel
- 28-Resample
- 29-95% Confidence Interval of the Difference

بود. از این رو، می‌توان عنوان کرد که نقش پوشش گیاهی در کاهش دمای سطح شهر حائز اهمیت بوده و مدیران و برنامه‌ریزان شهری می‌باید در برنامه‌ریزی‌های آتی به ایجاد فضاهای سبز شهری به لحاظ کمیت و از نظر پراکنش و گسترش آن، بخصوص در شهر تهران که بسرعت در حال گسترش است، توجه ویژه‌ای کنند. همچنین با ایجاد روابط رگرسیونی خطی با مقادیر NDVI و FVC و بررسی ضرایب رگرسیونی حاصل، می‌توان نتیجه گرفت که این روابط توانایی برآورد درجه حرارت سطح زمین را در مناطق غیریکنواخت، در صورتی که مقدار این مشخصه‌ها (FVC و NDVI) معلوم باشد، امکان پذیر می‌سازد. این‌گونه روابط و معادلات رگرسیونی به جهت این که داده‌های حرارتی همیشه در دسترس نیستند در حالی که مقادیر فراوانی تراکم پوشش گیاهی براحتی با استفاده از باندهای مرئی و مادون قرمز قابل حصول هستند، مفید خواهد بود. از این رو می‌توان عنوان کرد که میزان تراکم پوشش گیاهی که بیشتر با شاخص‌های FVC و NDVI بیان می‌شوند، جزو مشخصه‌های مهمی‌اند که می‌توان از طریق آنها به درجه حرارت سطح انواع پوشش - کاربری زمین دست یافت. آگاهی از علایم و نشانه‌های حرارتی انواع پوشش - کاربری زمین در منطقه مورد مطالعه می‌تواند در درک مناسب و بهتر نقش آنها در نحوه پخش و گسترش پدیده UHI، مفید واقع شود. به منظور بررسی و تحقیق بیشتر، پیشنهاد می‌شود مطالعات در فصول و شرایط مختلف سال انجام گیرد. همچنین به منظور نیل به نتایج بهتر برویزه تخمین دقیق‌تر درجه حرارت سطح زمین، از تصاویر سنجنده‌های با قدرت تفکیک مکانی باند حرارتی بالاتر استفاده شود. با دانستن این که درجه حرارت سطح زمین دارای وابستگی منفی با میزان تراکم پوشش گیاهی است، توصیه می‌شود که نواحی و بخش‌هایی از شهر که برای گسترش فضای سبز شهری مناسب هستند، بخصوص مناطق شهری با تراکم بالای ساخت و ساز و مناطق باир، در اولویت برنامه‌ریزان شهری قرار گیرند. در نظر گرفتن این مسئله باعث کاهش درجه حرارت سطح نواحی شده و بدین طریق در جلوگیری از برهم خوردن تعادل آب و هوا و اقلیم شهر مؤثر واقع خواهد شد. شایان ذکر است که در این تحقیق، ارتباط تغییرات حرارتی مناطق شهری با تغییرات پوشش گیاهی مورد توجه قرار گرفت. ولیکن در سالهای اخیر توسعه عمودی مناطق شهری مورد توجه مدیران شهری قرار گرفته است که در صورت در اختیار داشتن اطلاعات مربوط به تغییرات عمودی (طبقات) ساختمان‌ها، امکان تحلیل

**منابع مورد استفاده**

- ملک پور، پ.، طالعی م.، رضایی، ی.، ۱۳۸۸. استفاده از فناوری سنجش از دور در مطالعات محیط‌های حرارتی شهری، ماهنامه فضا، سال پنجم، شماره ۴۰-۳۹، ص ۳۳-۳۸، سازمان فضایی ایران.
- مرکز آمار ایران. ۱۳۸۶. نتایج کلی سرشماری عمومی نفوس و مسکن ۱۳۸۵، پایگاه اینترنتی مرکز آمار ایران، <http://www.amar.org.ir/Upload/Modules/Contents/asset23/kollisarshomari85.pdf>
- Abrams,M., S.,Hook, B.,Ramachandran .2002. ASTER Users Handbook, Version 2: Advanced Spaceborne Thermal Emission and Relection Radiometer.
- Dousset,B., F., Gourmelon .2003. Satellite multi-sensor data analysis of urban surface temperatures and landcover, ISPRS Journal of Photogrammetry and Remote Sensing, v. 58, p.43-54.
- Franca,G.B., A.P.,Cracknel .1994. Retrieval of land and sea surface temperature using NOAA-11 AVHRR data in north-eastern Brazil, International journal of remote sensing, v. 15 (8), p. 1695-1712.
- Gallo,K.P., D.R.,Esterling, T.C.,Peterson .1996. The influence of land use/land cover on climatological values of the diurnal temperature range. Journal of Climate, v. 9, p. 2941–2944.
- Gillespie,A., et al .1998. A temperature and emissivity separation algorithm for Advanced Spaceborne Thermal Emission and Reflection Radiometer (ASTER) images: IEEE Transaction on Geosciences and Remote Sensing, v. 36(4), p. 1113-1126.
- Johnson,B.R., S.J.,Young .1998. Inscene Atmospheric Compensation: Application to SEBASS Data at the ARM Site, Aerospace Report No. ATR-99 (8407), Parts I and II.
- Johnson, R.A., G.K., Bhattacharyya .2009. Statistics: Principles and Methods. Wiley, 6<sup>th</sup> edition, 704 pages, ISBN: 978-0470409275.
- Lu,D., Q.,Weng .2004. Spectral mixture analysis of the urban landscape in Indianapolis city with LANDSAT-7 ETM+ imagery: Photogrammetry Engineering and Remote Sensing, v. 70(9), p.1053-1062.
- Mather,A.S. 1986. Land Use (London: Longman).
- Owen,T.W., T.N., Carlson, R.R.,Gillies .1998. An assessment of satellite remotely-sensed land cover parameters in quantitatively describing the climatic effect of urbanization. International Journal of Remote Sensing, 19, 1663-1681.
- Pierangelo,C., et al .2004. Dust altitude and infrared optical depth from AIRS, Atmos. Chem. Phys. ,v. 4, p.1813-1822.
- Rajasekar,U., Q.,Weng .2009. Spatio-temporal modeling and analysis of urban heat islands by using Landsat TM and ETM+ Imagery, *International Journal of Remote Sensing*, v. 30(13), p. 3531-3548.
- Richards,J.A. 1993. An Introduction to Remote Sensing Digital Image Analysis, Springer-Verlag New York, Inc., Second Edition, pp.225.
- Salisbury,J.W., D.M.,D'Aria .1992. Emissivity of terrestrial materials in the 8-14 $\mu\text{m}$  atmospheric windows: Remote Sensing of Environment, v. 42, p. 83-106.
- Weng,Q., D.,Lu, J.,Schubring .2004. Estimation of land surface temperature- vegetation abundance relationship for urban heat island studies: Remote Sensing of Environment, v. 89, p.467-483.
- Yamashita,S. 1996. Detail Structure of Heat Island Phenomena from Moving Observations from Electric Trans Cars in Metropolitan Tokyo, Atmospheric Environment, v. 30, p. 429-435.